

Procjene maksimalnih godišnjih kratkotrajnih količina oborine na postaji Ogulin

Geografska širina (φ): 45.26278° (399722.94E)

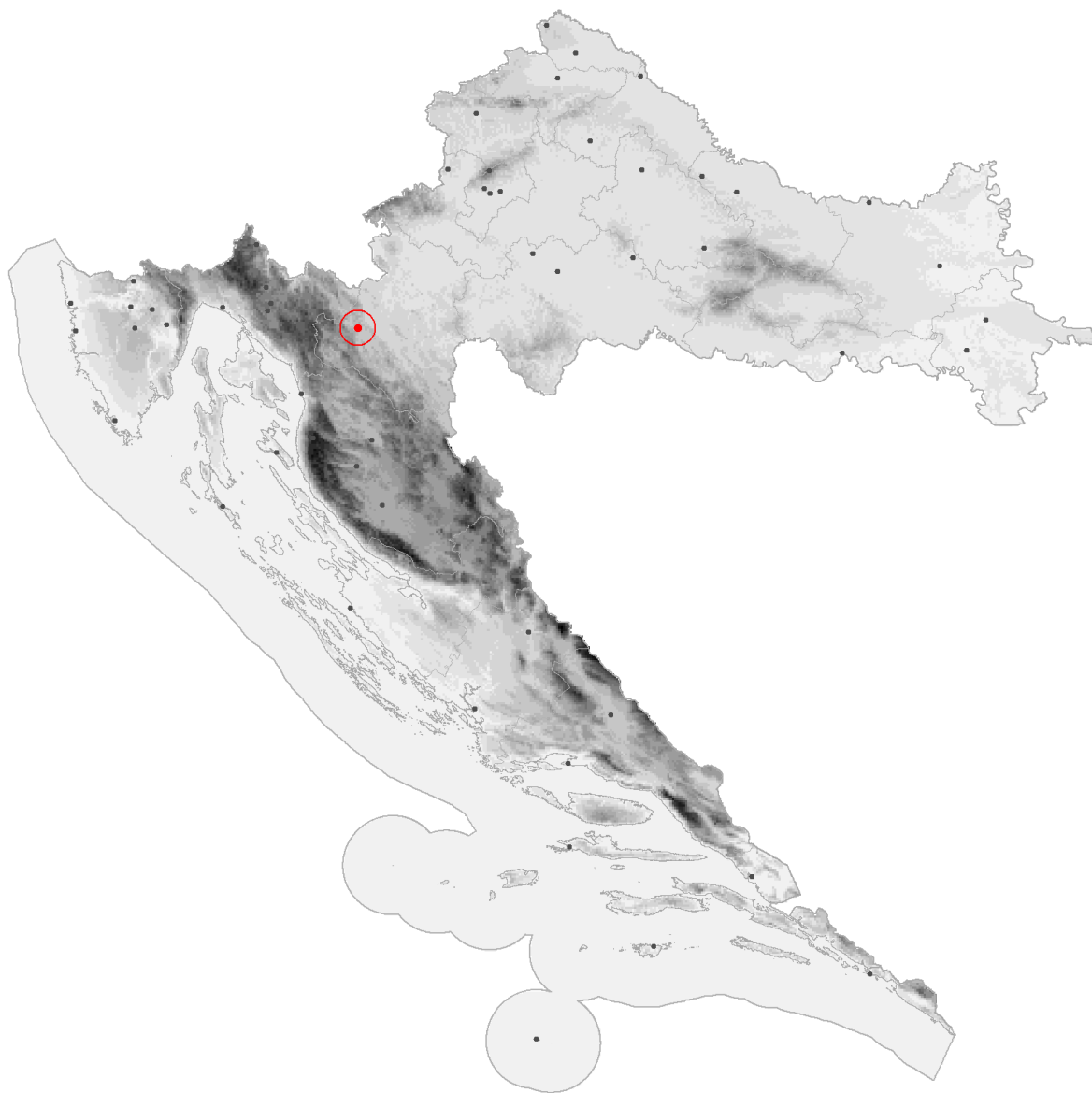
Geografska dužina (λ): 15.22222° (5014440.94N)

Nadmorska visina (h): 327 m

Razdoblje: 1963. – 2020.

Analizirani broj godina: 58 (100 %)

Nedostajuće godine: 0 (0 %)



Najbliži ombrograf: Senj, 39 km

Tablica 1.

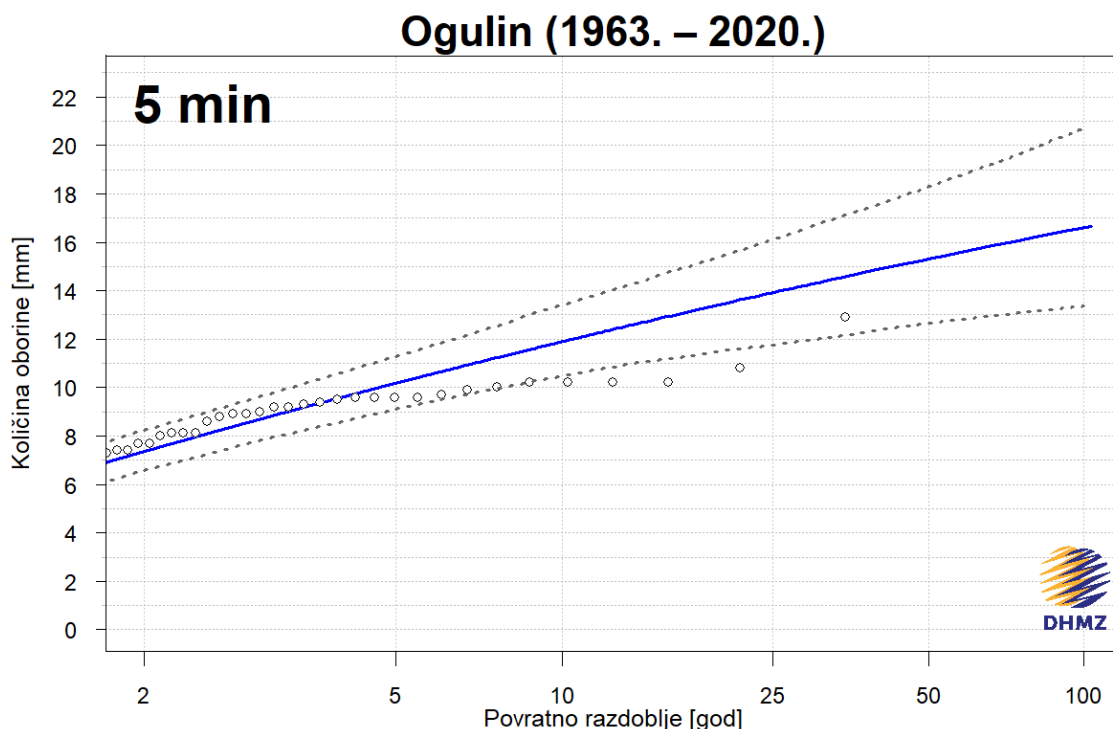
Osnovni statistički parametri oborine za različita trajanja: Rsred – srednjak [mm], StDev – standardna devijacija [mm], CV – koeficijent varijacije oborine, Rmaks – najveća registrirana količina oborine [mm] i pripadni datum i vrijeme, Tmaks – pripadno povratno razdoblje za Rmaks [god]. **OGULIN, razdoblje 1963. – 2020.**

Trajanje	Rsred	StDev	CV	Rmaks	Datum/Vrijeme	Tmaks
5 min	7.7	3.8	0.49	30.0	2019-06-16 19:55:00	13,976,167
10 min	11.6	5.5	0.47	41.6	2019-06-16 19:55:00	491
20 min	17.1	7.2	0.42	50.7	2019-06-16 19:55:00	351
30 min	20.6	8.4	0.41	57.4	2019-06-16 19:55:00	251
40 min	23.3	9.4	0.40	62.1	2019-06-16 19:55:00	180
50 min	25.5	10.1	0.40	68.4	2019-06-16 20:00:00	185
60 min	27.4	10.4	0.38	72.7	2019-06-16 20:10:00	178
2 h	34.4	11.1	0.32	74.9	2019-06-16 20:25:00	98
3 h	39.0	11.8	0.30	75.0	2019-06-16 21:20:00	66
4 h	43.0	12.3	0.29	79.1	1971-07-19 05:10:00	59
6 h	50.2	13.4	0.27	84.9	1971-07-19 06:05:00	55
8 h	55.0	13.6	0.25	87.9	1971-07-19 06:25:00	46
12 h	62.2	14.6	0.23	101.4	1987-09-25 11:20:00	100
24 h	75.9	17.7	0.23	118.4	1987-09-25 14:55:00	74

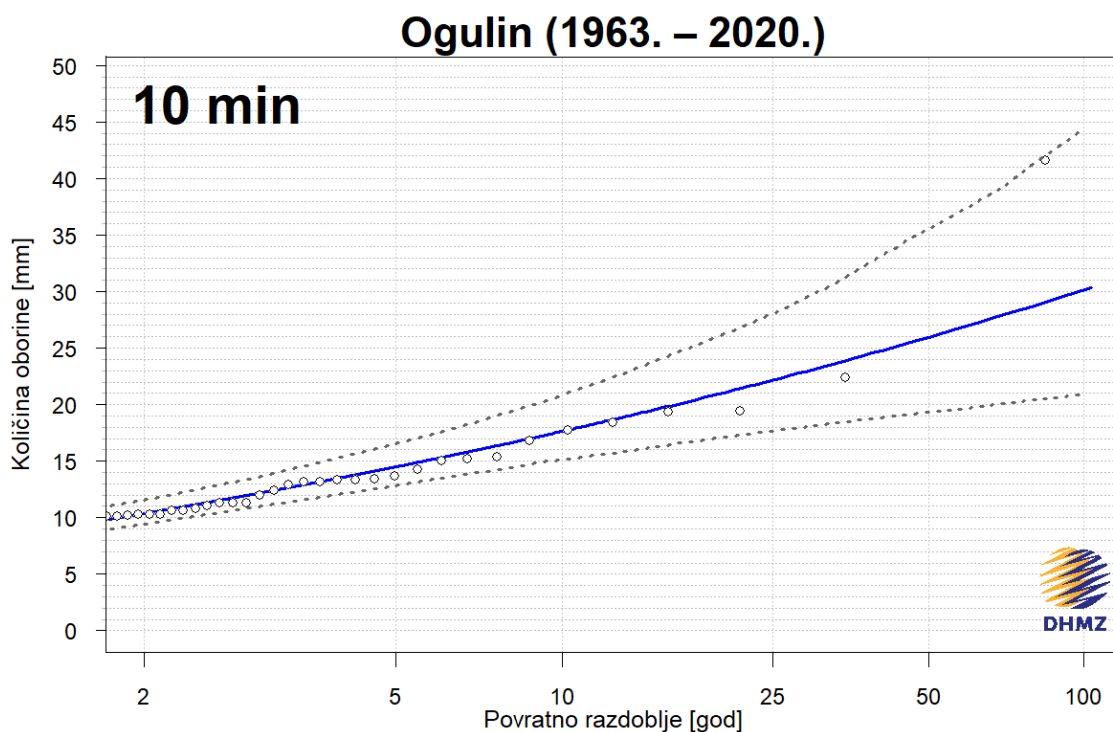
Tablica 2.

Procjene maksimalnih godišnjih količina oborine RT [mm] za različita trajanja i odgovarajuće donje (IPd) i gornje granice (IPg) 95%-tnih intervala pouzdanosti za različita povratna razdoblja T (2, 5, 10, 25, 50 i 100 godina). **OGULIN, razdoblje 1963. – 2020.**

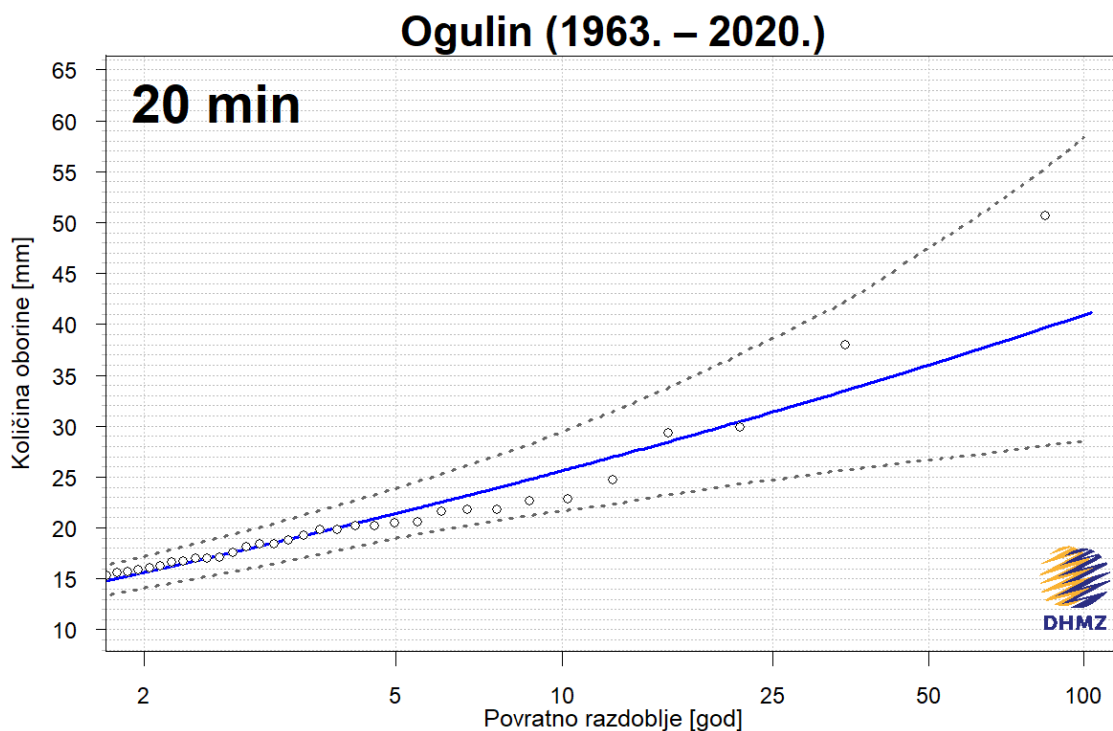
Trajanje	T2			T5			T10			T25			T50			T100		
	IPd	RT	IPg	IPd	RT	IPg	IPd	RT	IPg	IPd	RT	IPg	IPd	RT	IPg	IPd	RT	IPg
5 min	6.6	7.4	8.2	9.1	10.2	11.3	10.5	11.9	13.4	11.8	13.9	16.1	12.7	15.3	18.3	13.4	16.6	20.7
10 min	9.4	10.4	11.5	12.8	14.5	16.6	15.1	17.6	20.9	17.7	22.2	28.0	19.3	26.0	35.6	20.9	30.2	44.4
20 min	14.1	15.6	17.2	19.0	21.4	23.9	21.7	25.6	29.4	24.7	31.4	38.6	26.7	36.0	47.5	28.5	40.9	58.4
30 min	17.2	18.9	20.7	22.9	25.6	28.5	26.4	30.6	35.3	30.7	37.4	45.5	33.4	42.9	55.4	35.8	48.9	67.5
40 min	19.5	21.3	23.4	25.9	28.8	32.3	30.1	34.4	39.6	35.0	42.3	51.5	38.2	48.7	63.0	41.0	55.7	80.5
50 min	21.1	23.3	25.6	27.6	31.4	34.9	32.0	37.4	43.1	36.7	46.0	56.9	39.8	53.1	71.6	43.0	60.9	88.7
60 min	23.1	25.0	27.2	30.0	33.2	36.8	34.1	39.4	44.9	39.0	48.5	59.3	42.3	56.2	74.1	45.2	64.8	92.8
2 h	29.3	31.8	34.1	37.3	41.3	44.9	42.3	48.3	53.9	48.4	58.2	68.8	52.6	66.3	83.0	56.5	75.1	99.9
3 h	34.0	36.6	39.9	42.8	47.1	51.8	48.4	54.4	60.8	54.7	64.2	74.1	58.5	71.8	87.1	62.1	79.8	102.9
4 h	37.6	40.6	44.0	47.1	51.7	56.5	53.0	59.4	65.9	60.0	69.5	80.8	64.0	77.3	94.1	67.5	85.3	110.3
6 h	45.2	48.5	52.3	56.2	60.9	65.7	62.8	68.6	75.2	68.6	77.7	87.7	72.2	84.1	99.0	75.5	90.0	111.4
8 h	49.6	53.4	57.5	61.2	66.0	71.0	67.7	73.6	79.4	74.1	82.5	92.2	77.5	88.6	101.5	80.8	94.3	111.7
12 h	56.7	60.9	65.4	69.1	74.2	79.3	75.9	82.0	87.7	82.1	90.6	100.3	85.8	96.3	108.8	88.5	101.4	118.0
24 h	70.3	74.9	80.0	84.8	91.0	96.4	92.0	99.9	106.4	98.6	109.4	119.1	102.3	115.4	128.6	104.8	120.6	137.3



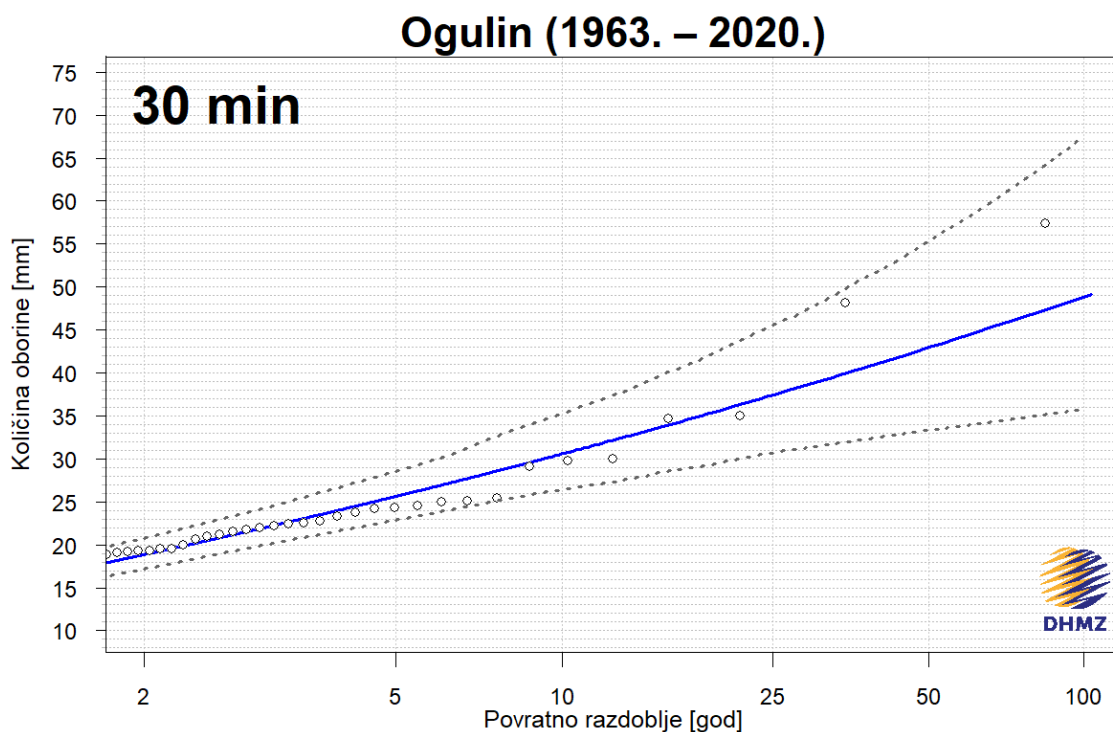
Slika 1. Procjene maksimalnih godišnjih količina oborine za različita povratna razdoblja (plava krivulja) i odgovarajući donji i gornji 95%-tni intervali pouzdanosti (crtkane krivulje) za trajanje **5 minuta**, izračunate pomoću razdiobe GEV



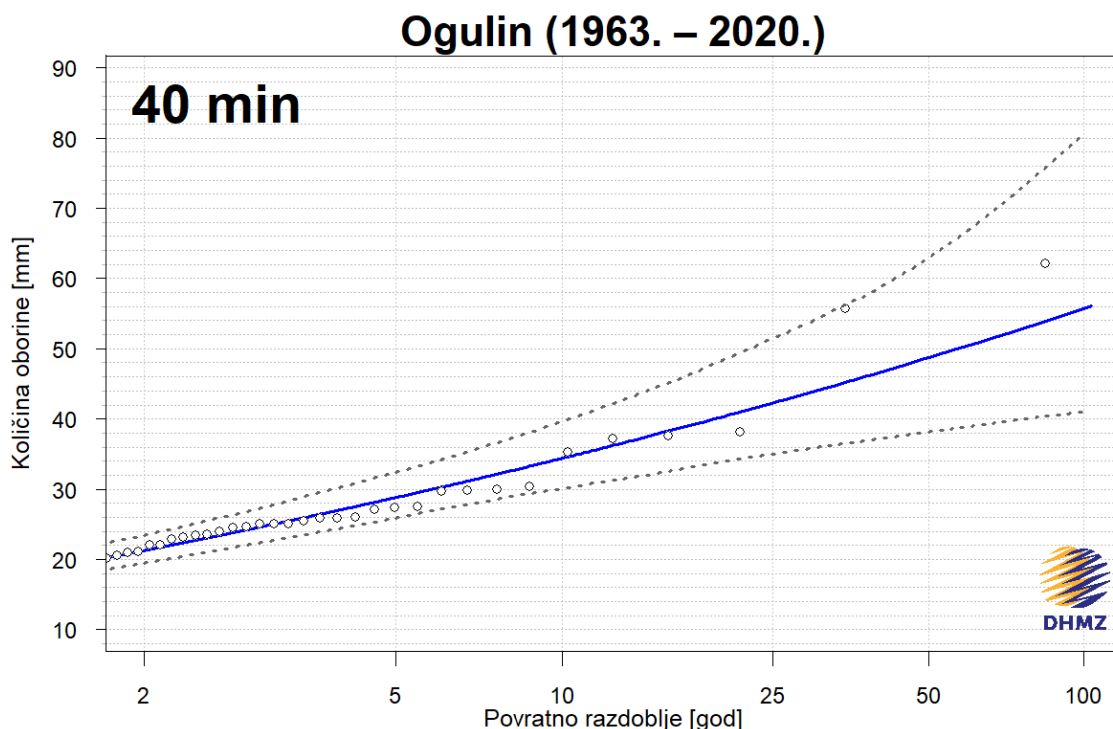
Slika 2. Procjene maksimalnih količina oborine za različita povratna razdoblja (plava krivulja) i odgovarajući donji i gornji 95%-tni intervali pouzdanosti (crtkane krivulje) za trajanje **10 minuta**, izračunate pomoću razdiobe GEV



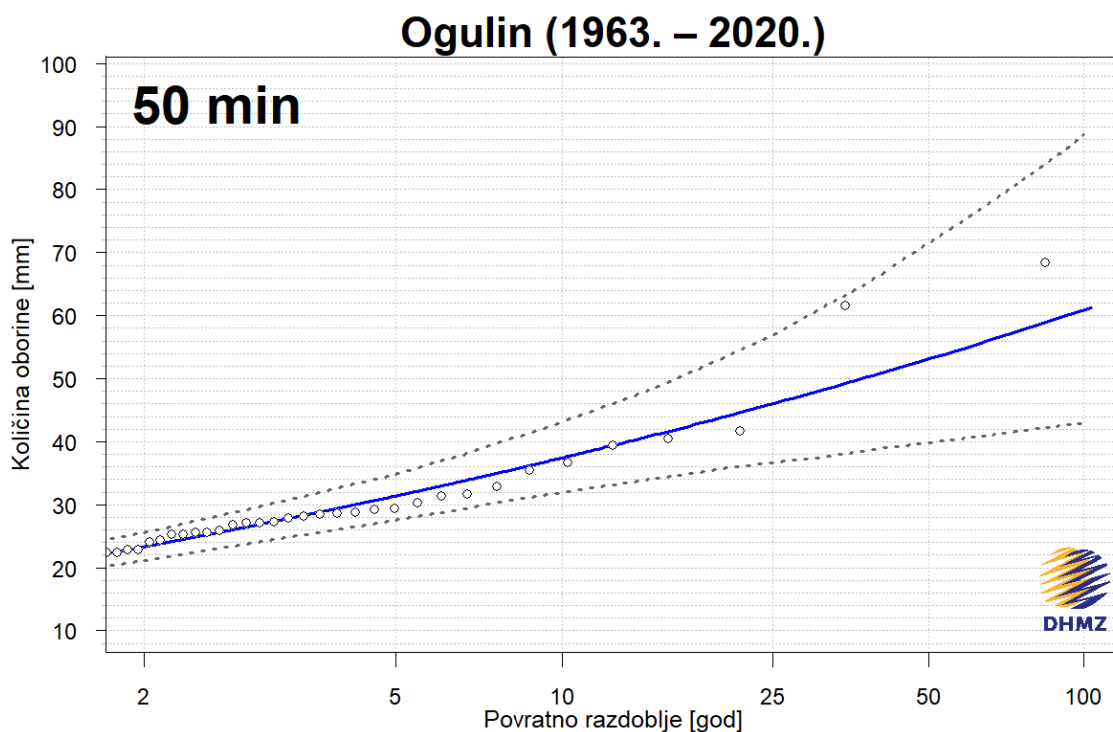
Slika 3. Procjene maksimalnih godišnjih količina oborine za različita povratna razdoblja (plava krivulja) i odgovarajući donji i gornji 95%-tni intervali pouzdanosti (crtkane krivulje) za trajanje **20 minuta**, izračunate pomoću razdiobe GEV



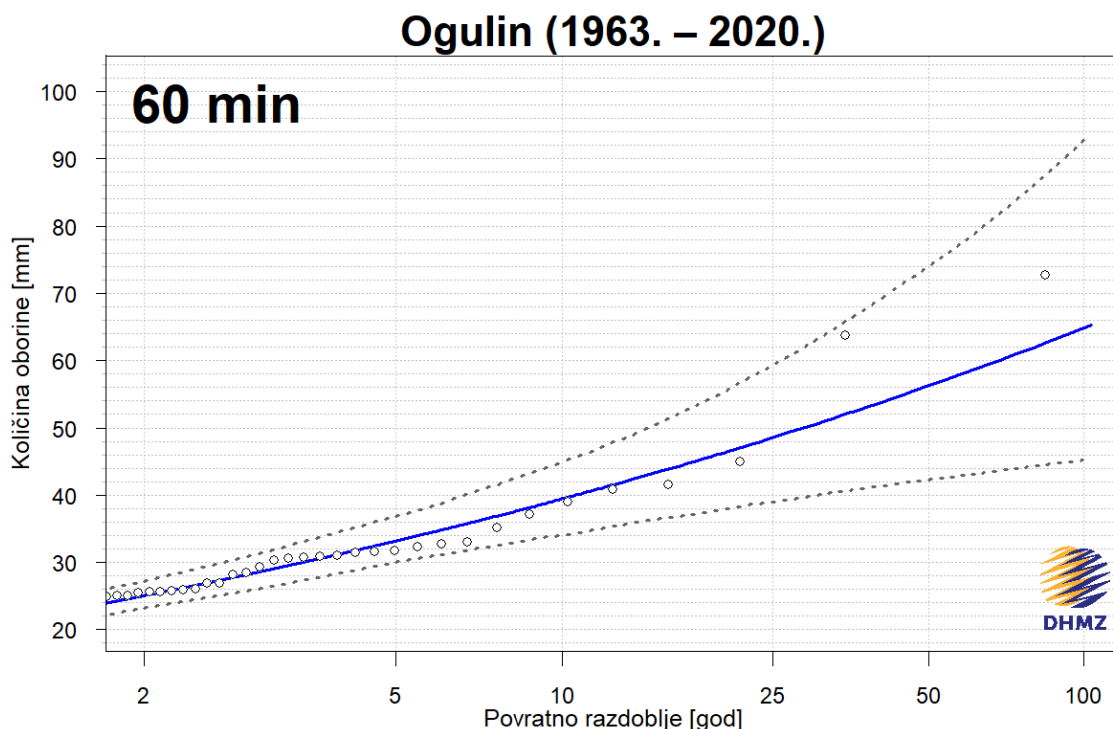
Slika 4. Procjene maksimalnih godišnjih količina oborine za različita povratna razdoblja (plava krivulja) i odgovarajući donji i gornji 95%-tni intervali pouzdanosti (crtkane krivulje) za trajanje **30 minuta**, izračunate pomoću razdiobe GEV



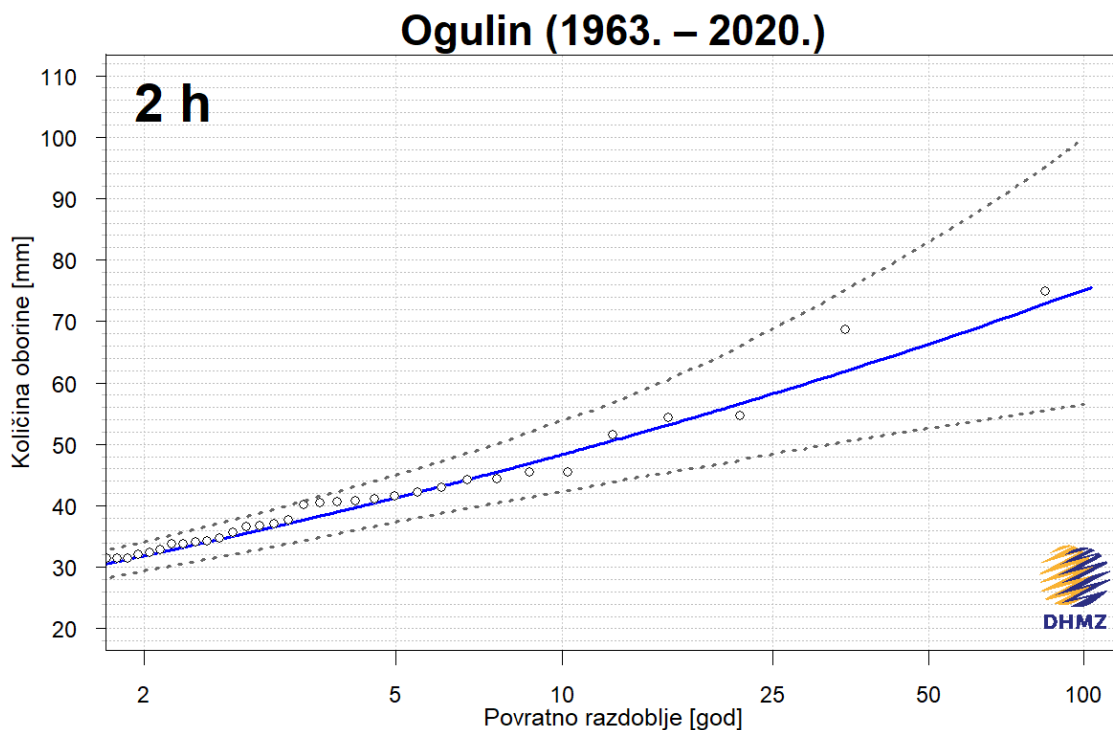
Slika 5. Procjene maksimalnih godišnjih količina oborine za različita povratna razdoblja (plava krivulja) i odgovarajući donji i gornji 95%-tni intervali pouzdanosti (crtkane krivulje) za trajanje **40 minuta**, izračunate pomoću razdiobe GEV



Slika 6. Procjene maksimalnih godišnjih količina oborine za različita povratna razdoblja (plava krivulja) i odgovarajući donji i gornji 95%-tni intervali pouzdanosti (crtkane krivulje) za trajanje **50 minuta**, izračunate pomoću razdiobe GEV

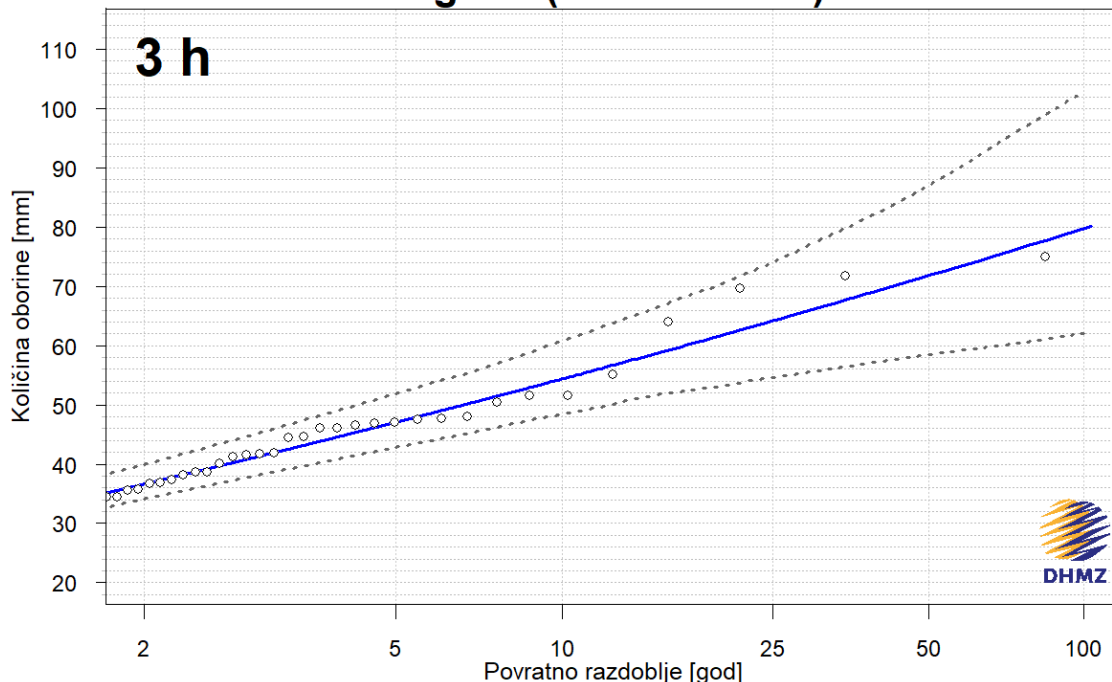


Slika 7. Procjene maksimalnih godišnjih količina oborine za različita povratna razdoblja (plava krivulja) i odgovarajući donji i gornji 95%-tni intervali pouzdanosti (crtkane krivulje) za trajanje **60 minuta**, izračunate pomoću razdiobe GEV



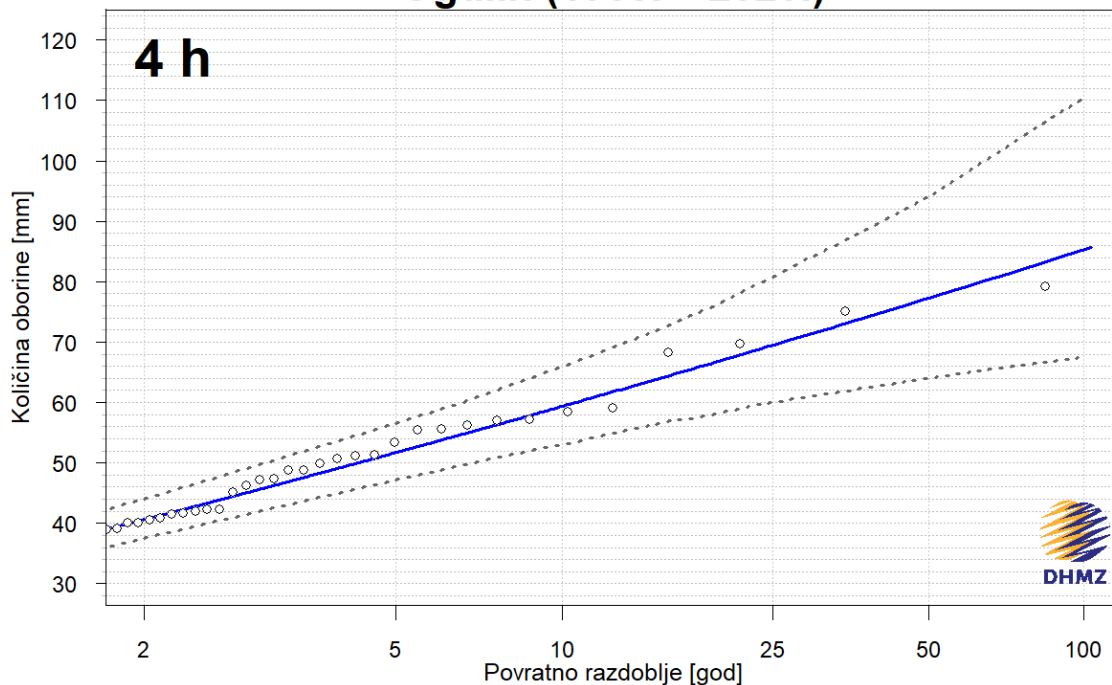
Slika 8. Procjene maksimalnih godišnjih količina oborine za različita povratna razdoblja (plava krivulja) i odgovarajući donji i gornji 95%-tni intervali pouzdanosti (crtkane krivulje) za trajanje **2 h**, izračunate pomoću razdiobe GEV

Ogulin (1963. – 2020.)

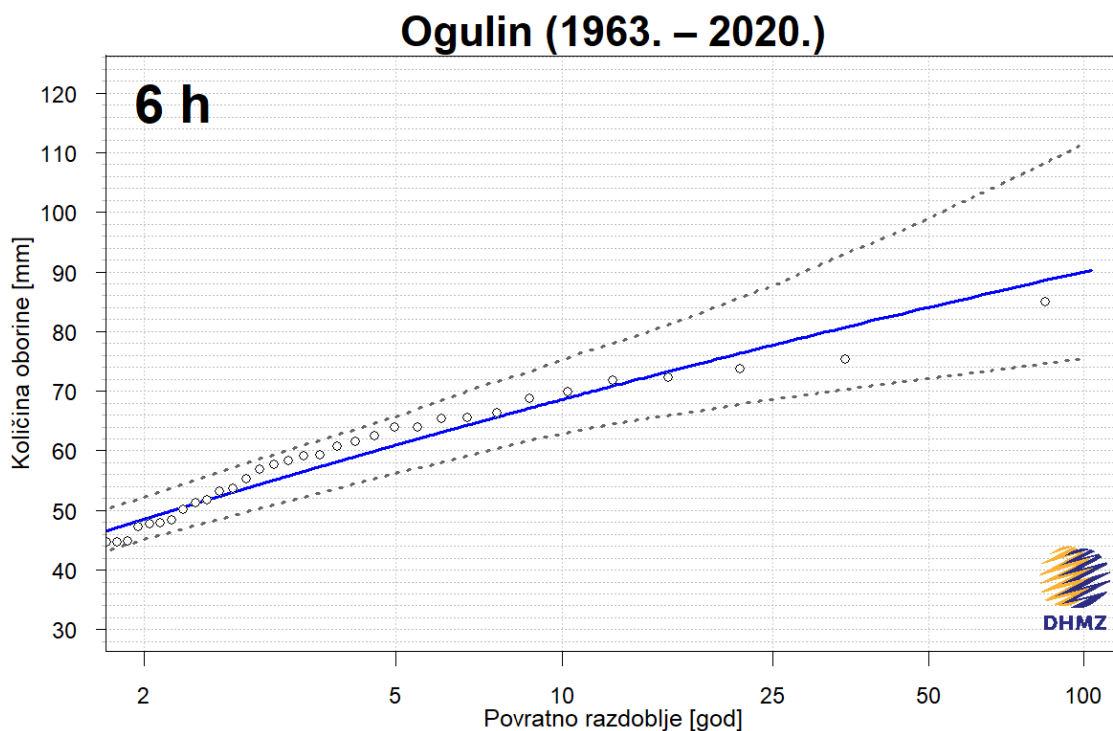


Slika 9. Procjene maksimalnih godišnjih količina oborine za različita povratna razdoblja (plava krivulja) i odgovarajući donji i gornji 95%-tni intervali pouzdanosti (crtkane krivulje) za trajanje **3 h**, izračunate pomoću razdiobe GEV

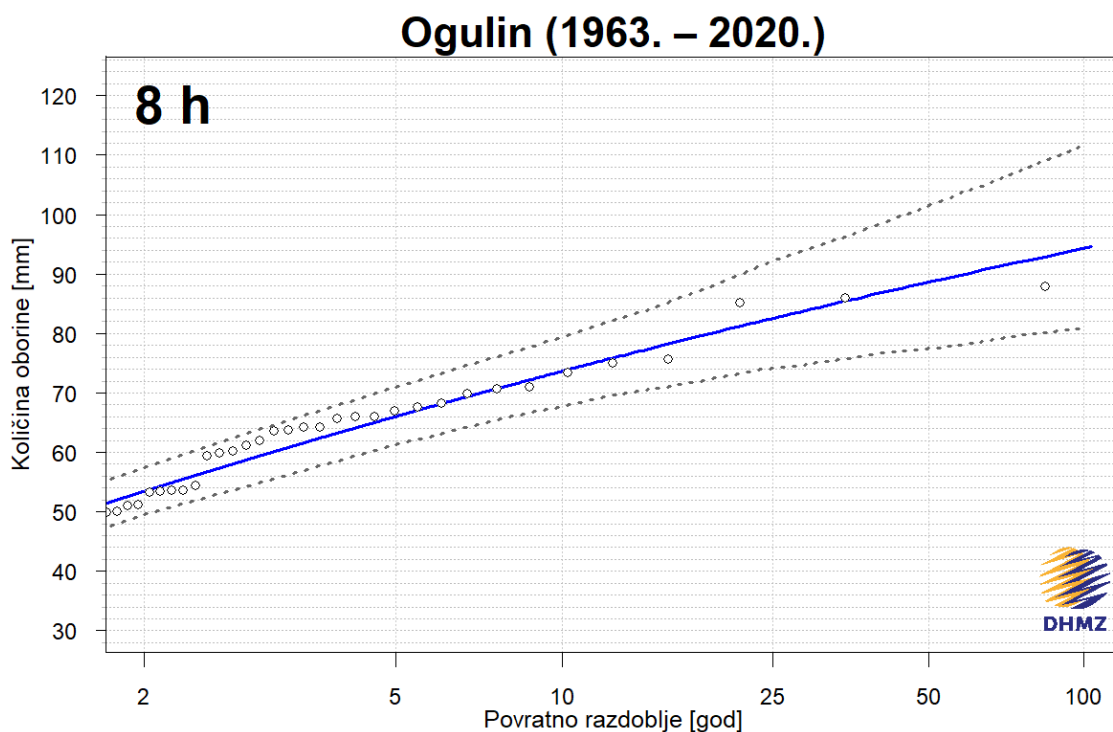
Ogulin (1963. – 2020.)



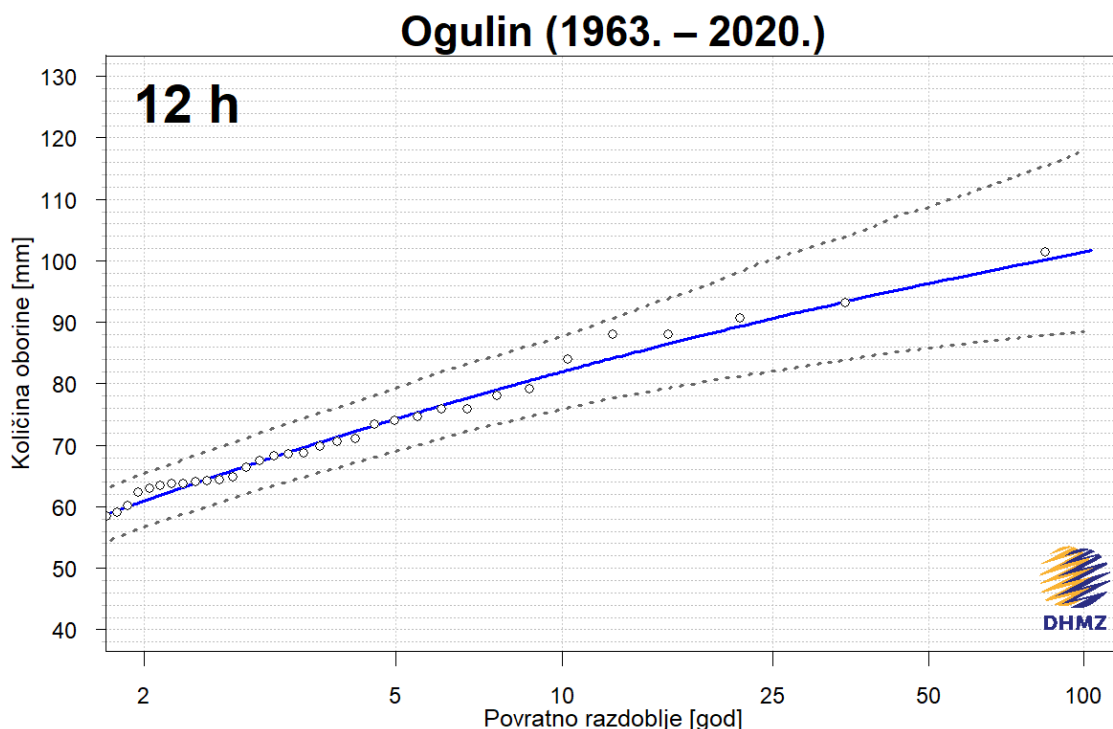
Slika 10. Procjene maksimalnih godišnjih količina oborine za različita povratna razdoblja (plava krivulja) i odgovarajući donji i gornji 95%-tni intervali pouzdanosti (crtkane krivulje) za trajanje **4 h**, izračunate pomoću razdiobe GEV



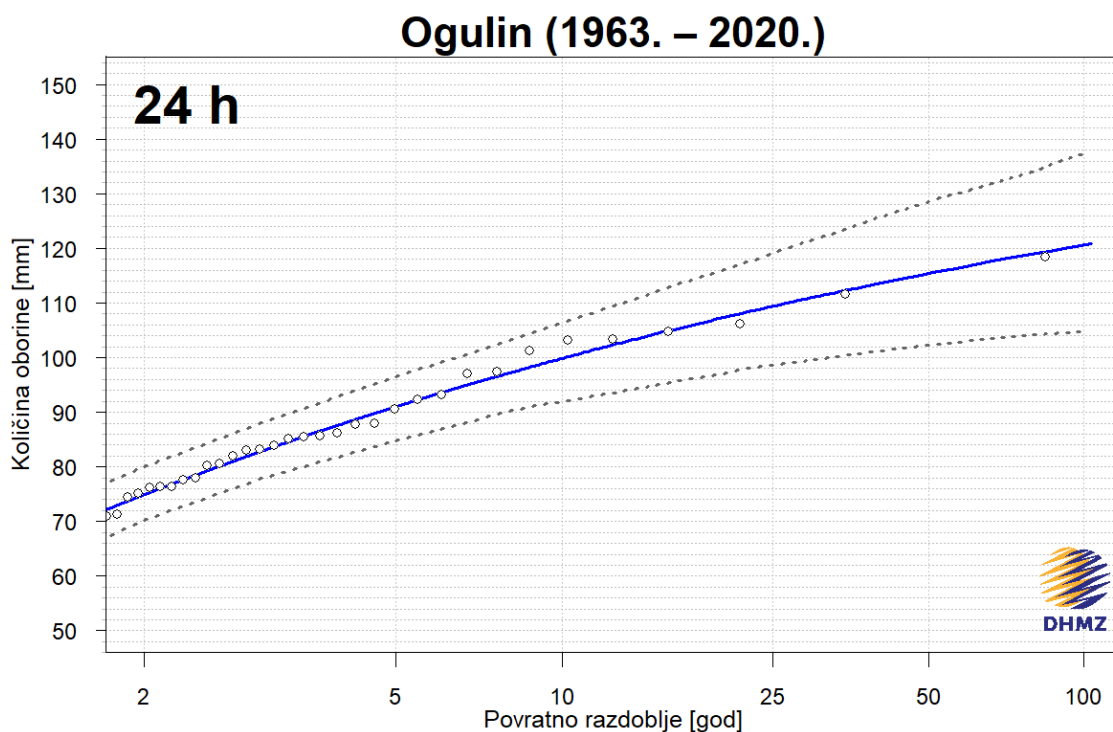
Slika 11. Procjene maksimalnih godišnjih količina oborine za različita povratna razdoblja (plava krivulja) i odgovarajući donji i gornji 95%-tni intervali pouzdanosti (crtkane krivulje) za trajanje **6 h**, izračunate pomoću razdiobe GEV



Slika 12. Procjene maksimalnih godišnjih količina oborine za različita povratna razdoblja (plava krivulja) i odgovarajući donji i gornji 95%-tni intervali pouzdanosti (crtkane krivulje) za trajanje **8 h**, izračunate pomoću razdiobe GEV



Slika 13. Procjene maksimalnih godišnjih količina oborine za različita povratna razdoblja (plava krivulja) i odgovarajući donji i gornji 95%-tni intervali pouzdanosti (crtkane krivulje) za trajanje **12 h**, izračunate pomoću razdiobe GEV



Slika 14. Procjene maksimalnih godišnjih količina oborine za različita povratna razdoblja (plava krivulja) i odgovarajući donji i gornji 95%-tni intervali pouzdanosti (crtkane krivulje) za trajanje **24 h**, izračunate pomoću razdiobe GEV